

بررسی آزمایشگاهی و مدل سازی عددی تأثیر استفاده از مانع نوار تابیده منتخب بر عملکرد

سیستم فتوولتائیک حرارتی*

مقاله پژوهشی

محمد رضا کلاته^(۱)

علی کیانی فر^(۲)

محمد سردار آبادی^(۳)

چکیده تاکنون پژوهش های آزمایشگاهی زیادی در زمینه قرار دادن انواع مانع جریان در کلکتور خورشیدی انجام شده است اما تأثیر استفاده از مانع نوار تابیده داخل کلکتور یک واحد فتوولتائیک حرارتی انجام نشده که برای اولین بار در این پژوهش به صورت آزمایشگاهی صورت می گیرد. در نوع نوار تابیده برگرفته از تحقیقات پژوهشگران در گذر شده که دارای بالاترین کارایی نسبت به سایر موانع جریان در داخل لوله بودند به منظور بررسی و تعیین بهترین نوار انتخاب شدند. با توجه به هزینه های بالای مواد و لوازم مصرفی، تجهیزات مورد نیاز، تولید نوارهای تابیده و انجام آزمایش ها، بررسی نوارهای تابیده مذکور برای انتخاب بهترین نوار تابیده به صورت عددی انجام خواهد شد؛ لذا به منظور صحت گذاری مدل سازی عددی، بستر آزمایشگاهی برای انجام آزمایش های لوله صاف بدون/با نوار تابیده ساده آماده گردید. پس از صحت گذاری مدل عددی، بررسی عددی ۱۰ نوع نوار تابیده منتخب (با اشکال مختلف) در شرایط یکسان انجام و بهترین نوار تابیده (دارای بالاترین کارایی) انتخاب شد. در نهایت، نوار تابیده منتخب در لوله های کلکتور (مدل هدر- رایزر) واحد فتوولتائیک حرارتی جای گذاری و اثر آن به صورت آزمایشگاهی با شبیه ساز خورشیدی ارزیابی گردید.

واژه های کلیدی انرژی خورشیدی، موانع جریان داخل لوله، نوار تابیده، نوار تابیده منتخب، فتوولتائیک حرارتی.

مقدمه

بازده این سامانه ها بین ۴ تا ۱۷ درصد با توجه به نوع سلول های خورشیدی و شرایط کارکرد، متغیر است [5]. پس بخش قابل توجهی از انرژی دریافتی به حرارت تبدیل می شود و در نتیجه دمای سلول های فتوولتائیک افزایش می یابد. این امر سبب افت ولتاژ مدار باز و در نتیجه کاهش بازده سامانه می شود [6].

همچنین، افزایش دمای سلول های فتوولتائیک به ساختمان سلول آسیب می زند و عمر مفید آن را کاهش می دهد [7]. بنابراین خنک کردن واحدهای فتوولتائیک اهمیت زیادی دارد که به این منظور می توان از سامانه های فتوولتائیک حرارتی استفاده کرد. سامانه فتوولتائیک

امروزه گرایش در جهت استفاده از انرژی های تجدیدپذیر به علت نگرانی های ایجاد شده در زمینه هزینه سوخت های فسیلی و محدودیت های موجود برای منابع و از سوی دیگر مشکلات زیست محیطی که در صورت استفاده از این سوخت ها پدیدار می شود، افزایش پیدا کرده است [1,2].

سامانه فتوولتائیک حرارتی

واحدهای فتوولتائیک معمولاً حدود ۹۰ درصد از انرژی خورشیدی دریافتی را جذب می کنند [3,4] در حالی که

* تاریخ دریافت مقاله ۱۴۰۰/۱۰/۱۴ و تاریخ پذیرش آن ۱۴۰۰/۱۲/۱۱ می باشد.

(۱) دانشجو دکتری، دانشگاه فردوسی مشهد، دانشکده مهندسی، گروه مکانیک

(۲) نویسنده مسئول، استاد، دانشگاه فردوسی مشهد، دانشکده مهندسی، گروه مکانیک

(۳) استادیار، دانشگاه صنعتی قوچان، دانشکده مهندسی، گروه انرژی

دیگر کاربرد بیشتری دارند [11,12]. این نوارها باعث ایجاد و یا افزایش جریان چرخشی در لوله می‌شود که این نیز سبب افزایش اختلاط سیال و مغشوش شدن لایه مرزی حرارتی نزدیک دیواره می‌شود. با این حال، به دلیل اغتشاش زیاد در حضور نوار تابیده، افت فشار افزایش می‌یابد. این بدین معنی است که طراحی مناسب یک نوار تابیده به منظور بهبود کارایی سیستم بسیار لازم است. نوار تابیده انواع مختلفی دارد مانند: نوار تابیده سوراخ‌دار (Twisted tape perforated)، نوار تابیده شکاف‌دار (Notched)، سیم‌دار (Wired)، دارای بریدگی V شکل (V-cut)، چند کاناله (Multi-channel)، با محور متغیر (With alternative axis)، داندانه‌دار (Serrated)، خوشه‌ای آج‌دار (Ribbed)، با حلقه‌های دایره‌ای (With circular-rings)، اسپیکر (spiky)، با حلقه‌های دایره‌ای (With circular-rings)، استگرد (Staggered) و چندتایی (Multiple) [13].

استفاده از نوارهای تابیده با هندسه‌های مختلف در پژوهش‌های متعددی بررسی شده است. در جدول (۱) مقدار کارایی چندین مدل مانع گردآوری شده است.

طبق جدول (۱) باتوجه به کارایی بالای نوارهای تابیده به دلیل ایجاد جریان‌های ثانویه و چرخشی و همچنین تخریب لایه مرزی در سیال عامل، به طور گسترده‌ای در زمینه بهبود انتقال حرارت استفاده می‌شوند. تاکنون پژوهش آزمایشگاهی در زمینه انتخاب بهترین نوار تابیده پس از مقایسه‌ای جامع بر روی انواع نوارهای تابیده صورت نگرفته است؛ لذا نوآوری این پژوهش از مقایسه ده نوار تابیده برگزیده از مطالعات پیشین در شرایط کاری یکسان و تعیین نوار تابیده منتخب از بین ده نوار تابیده مذکور می‌باشد.

حرارتی ترکیبی از واحد فتوولتاییک معمولی و گردآورنده حرارتی به منظور تولید هم‌زمان انرژی الکتریکی و حرارتی است. تولید هم‌زمان انرژی الکتریکی و حرارتی سبب کاهش فضای اشغال‌شده، کاهش دمای سلول‌های فتوولتاییک و در نتیجه افزایش طول عمر و نیز افزایش بازده کلی (مجموع الکتریکی و حرارتی) دستگاه می‌شود. هم‌چنین، تولید هم‌زمان انرژی الکتریکی و حرارتی از لحاظ اقتصادی نیز به صرفه‌تر است و بازگشت سرمایه در مدت زمان کوتاه‌تری انجام می‌پذیرد. از مهم‌ترین معایب استفاده از سامانه‌های فتوولتاییک حرارتی می‌توان به افزایش هزینه تعمیر و نگهداری، امکان یخ‌زدگی سیال جاذب حرارت در شرایط آب و هوایی سرد اشاره کرد.

معادی و همکاران [8] در پژوهشی عددی اثر استفاده از موانع به شکل برگ مخروطی (Conical-leaf inserts) در لوله‌های کلکتور یک صفحه فتوولتاییک حرارتی را بررسی کردند. به کار بردن مانع برگ مخروطی در لوله‌های کلکتور PVT سبب افزایش بازده حرارتی سیستم در حدود $10/2 - 14/1$ درصد و هم‌چنین بهبود بازده الکتریکی در بازه $0/9 - 3/4$ درصد، نسبت به کلکتور بدون مانع شد.

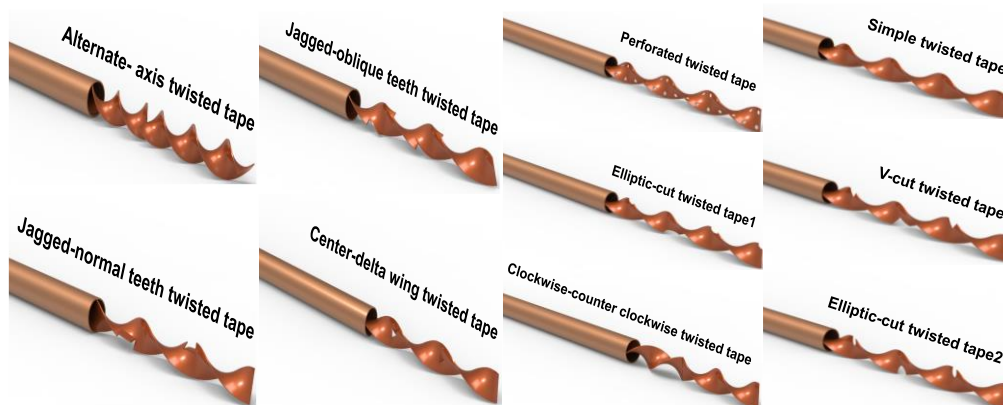
مانع نوار تابیده شده

در واحدهای کلکتور خورشیدی برای افزایش عملکرد سامانه، استفاده از پره، نوارهای تابیده، ماریچ و یا شکل‌های متنوع دیگری درون لوله ارائه شده است [9,10]. در پژوهش حاضر برای اولین بار اثر استفاده از مانع نوار تابیده منتخب بر عملکرد سامانه‌های فتوولتاییک حرارتی به صورت آزمایشگاهی مورد ارزیابی قرار گرفته است.

نوارهای تابیده در سیستم‌های خنک کاری به دلیل هزینه کمتر، نصب آسان و عملکرد بالا نسبت به وسایل

جدول ۱ برخی از انواع موانع به کاررفته در پژوهش‌های مختلف و مقایسه آن‌ها

مقدار کارایی	نوع آشفتگی جریان	نویسندگان
۰/۶۲ تا ۱/۲۹	مانع نوار مخروطی تابیده	بحیرایی و همکاران [۱۴]
۱/۲ تا ۲/۷۵	مانع نوار تابیده حلقه‌دار	دات و همکاران [۱۵]
۰/۸۲ تا ۱/۱۷	مانع باله مثلثی شکل	لیو و همکاران [۱۶]
۰/۸ تا ۱/۱۸	مانع نوار مارپیچ	صادقی و همکاران [۱۷]
۱/۴۸ تا ۲/۹۲	نوار تابیده چهارتایی با میله مرکزی	چانگ و همکاران [۱۸]
۱/۲۳ تا ۱/۷۲	مانع نوار سوراخ‌دار و باله‌دار	اسکلانگ و همکاران [۱۹]
۰/۸۹ تا ۱/۰۲	مانع نوار تابیده متقطع (فاصله‌دار)	لیو و همکاران [۲۰]
۱/۲۵ تا ۲/۲	مانع نوار گریزنده از مرکز	مقدس‌زاده [۲۱]
۰/۸۱ تا ۱/۲۶	مانع متخلخل	هوانگ و همکاران [۲۲]
۱/۱۷ تا ۲/۱۱	مانع سیم پیچ مفتولی	عبدالحمید و همکاران [۲۳]
۱ تا ۲/۳۴	فرورفتگی و برآمدگی روی لوله	پتکول و همکاران [۲۴]
۱ تا ۳/۴	مانع صفحه‌ای با بافل‌های سوراخ‌دار	چانگ و همکاران [۲۵]
۱/۲۲ تا ۳/۴۴	مانع با حلقه‌های توری	کومار و همکاران [۲۶]
۰/۷ تا ۱/۶۸	مانع فنر مارپیچ	گناناول و همکاران [۲۷]



شکل ۱ موانع نوار تابیده استفاده شده در مدل‌سازی

اهداف پژوهش

این پژوهش به دو بخش کلی اول و دوم تقسیم‌بندی می‌شود.

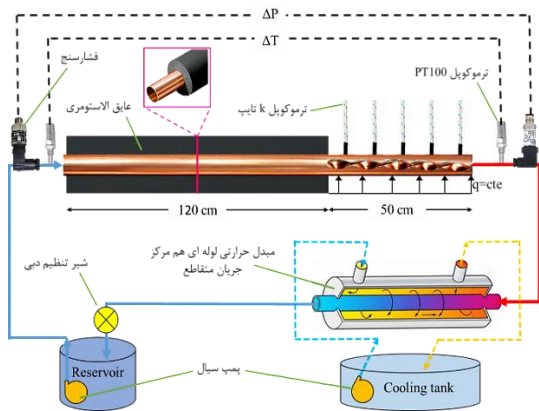
بخش اول پژوهش

این بخش به دو قسمت زیر تقسیم می‌شود:

۱. استفاده از مدل آزمایشگاهی و عددی به منظور ارزیابی

مشخصه‌های انتقال حرارتی سیال عامل گذرنده از لوله صاف با و بدون نوار تابیده ساده. نتایج عددی با یافته‌های آزمایشگاهی اعتبارسنجی می‌شوند. همچنین نتایج آزمایشگاهی با روابط شناخته شده موجود برای رژیم جریان آرام سیال مقایسه می‌گردد. ۲. تأثیر ده نوار تابیده مختلف مطابق شکل (۱) (ساده، سوراخ‌دار، دارای بریدگی ۷ شکل، دارای بریدگی

لوله حرارت دریافت می‌کند و دمای آن بالا می‌رود. در ورودی و خروجی لوله مسی، دما و فشار اندازه‌گیری می‌شود. همچنین در قسمتی از لوله که شار حرارتی اعمال می‌گردد دما در پنج نقطه با فواصل تقریباً یکسان و ثابت اندازه‌گیری می‌شود. آب خروجی از لوله مسی که دمای آن بالا رفته قبل از ورود مجدد به مخزن ۱ ابتدا از درون یک مبدل لوله‌ای هم‌مرکز عبور داده می‌شود تا به دمای مخزن برسد.



شکل ۲ شماتیک بستر آزمایشگاهی بخش اول

بخش دوم. در این بخش از پژوهش، سه دستگاه مختلف برای بررسی و انجام آزمایش‌ها طراحی و ساخته می‌شوند. دستگاه اول یک واحد فتوولتاییک معمولی است که بدون سیستم خنک‌کاری می‌باشد. دستگاه دوم یک واحد فتوولتاییک حرارتی با سیال خنک‌کننده آب است که از درون یک گردآورنده جمع‌کننده-پخش‌کننده (هدر-رایزر) که در زیر صفحه فتوولتاییک نصب شده است عبور می‌کند. دستگاه سوم همانند دستگاه دوم می‌باشد با این تفاوت که درون لوله‌های گردآورنده آن، مانع منتخب در تحلیل عددی تولید و سپس جای‌گذاری می‌گردد. بستر واقعی و شماتیک آزمایشگاهی در شکل‌های (۳) و (۴) قابل مشاهده می‌باشد. تمامی تست‌ها در محیط آزمایشگاه توسط دستگاه شبیه‌ساز خورشیدی انجام شد. دمای آزمایشگاه در تمامی حدوداً ۲۵ درجه سانتی‌گراد می‌باشد.

بیضوی ۱ (Elliptic cut)، دارای بریدگی بیضوی ۲، ساعتگرد- پادساعتگرد (Clockwise-counter)، دارای بریدگی دندانه‌مورب (Jagged oblique teeth)، دارای بریدگی دندانه‌عمودی (Jagged normal teeth)، دارای بریدگی بال دلتا شکل در مرکز (consisting of centre wings) و محور متناوب (Alternate axis)) بر سه پارامتر مهم از قبیل عدد ناسلت متوسط Nu ، ضریب اصطکاک f و کارایی TPF با استفاده از مدلسازی عددی در نرم‌افزار انسیس فلونتت بررسی می‌شود.

در نهایت نوار تابیده با بیشترین مقدار کارایی به‌عنوان مانع منتخب تعیین می‌شود.

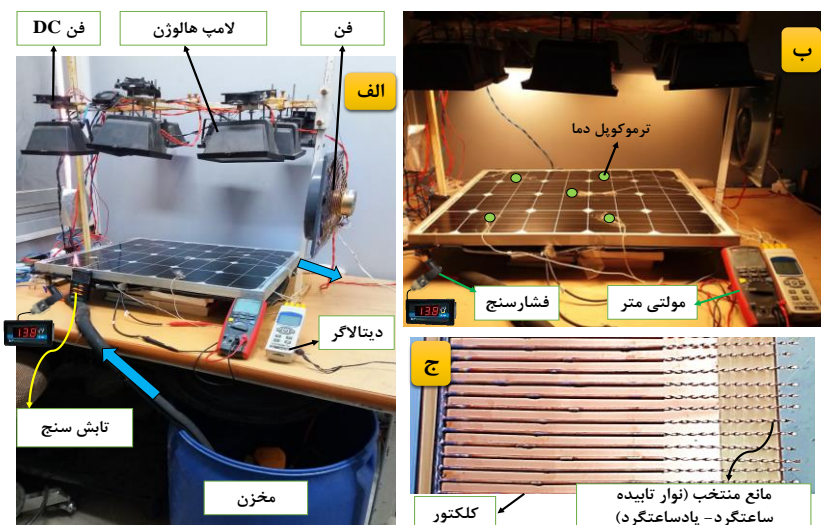
بخش دوم پژوهش

این بخش از پژوهش به توصیف دستگاه آزمایشگاهی استفاده شده برای تحلیل و ارزیابی اثر استفاده از مانع منتخب بر عملکرد دستگاه فتوولتاییک حرارتی می‌پردازد.

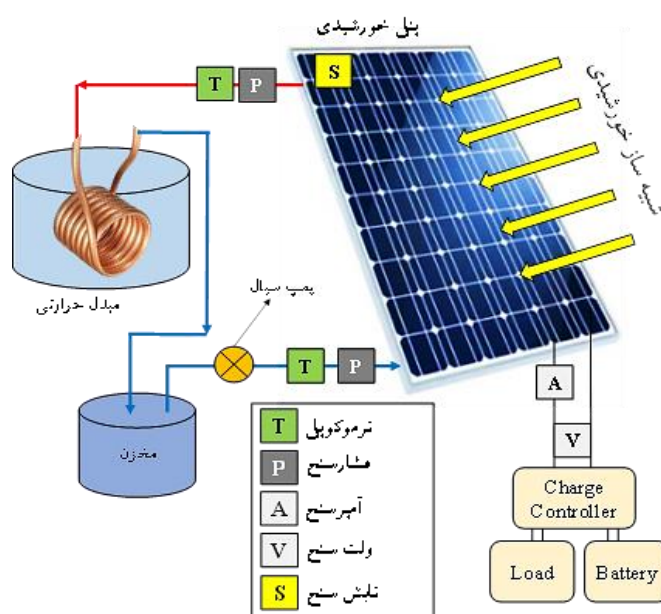
روش آزمایشگاهی

بخش اول. بدین منظور بستر آزمایش به‌منظور بررسی تأثیر استفاده از مانع بر انتقال حرارت و جریان سیال در یک لوله و همچنین اعتبارسنجی نتایج مدلسازی عددی ساخته می‌شود.

شکل (۲) شماتیکی از بستر آزمایشگاهی بخش اول را نشان می‌دهد. ابتدا آب خالص از مخزن توسط پمپ به داخل لوله مسی هدایت می‌شود. قسمتی از لوله به طول نیم متر تحت شار حرارتی ثابت قرار می‌گیرد. بدین منظور از سیم حرارتی برای ایجاد حرارت استفاده می‌شود. به این صورت که این سیم به دور لوله مسی پیچیده می‌شود. طبق محاسبات حداکثر ۱/۲ متر طول لوله نیاز است که جریان سیال به حالت توسعه‌یافتگی هیدرودینامیکی برسد، پس طول ۱/۷ متر برای لوله مسی در نظر گرفته می‌شود. آب پس از ورود به لوله و با توسعه یافته شدن هیدرودینامیکی، از دیواره



شکل ۳ بستر آزمایشگاهی بخش دوم پژوهش



شکل ۴ شکل شماتیک بستر آزمایشگاهی بخش دوم

روابط تحلیل انرژی

تحلیل انرژی بخش اول

میزان شار حرارتی که از طریق سیم حرارتی به سطح خارجی لوله ماسی در ناحیه اعمال شار وارد می شود، به صورت الکتریکی از رابطه (۱) محاسبه می شود و از طرف دیگر میزان شار دریافتی توسط سیال نیز از رابطه

(۲) به دست می آید.

$$q''_{el} = \frac{VI}{A_p} = cte \quad (1)$$

$$q''_{th} = m\dot{C}_p = (T_{b,o} - T_{b,i})/A_p \quad (2)$$

دمای متوسط حجم سیال در هر فاصله از ابتدای لوله از رابطه (۳) به دست می آید و سپس با استفاده از

$$\text{TPF} = \frac{\text{Nu}}{\text{Nu}_{\text{ref}}} \left(\frac{f}{f_{\text{ref}}}\right)^{\frac{1}{3}} \quad (10)$$

به منظور محاسبه عدد ناسلت تحلیلی برای سیال عامل آب با شرط مرزی دیواره با شار حرارتی ثابت، از رابطه (۱۱) معروف به رابطه شاه [28] برای انتقال حرارت در حال توسعه و جریان توسعه یافته هیدرودینامیکی و آرام در لوله صاف استفاده شده است.

$$\text{Nu}_{x^*} = \begin{cases} 1.302x^{*\frac{1}{3}} - 1 & x^* \leq 0.00005 \\ 1.302x^{*\frac{1}{3}} - 0.5 & 0.00005 < x^* < 0.0015 \\ 4.364 + 8.68(10^3 x^*)^{-0.506} e^{-41x^*} & x^* > 0.0015 \end{cases} \quad (11)$$

$$\text{Nu}_{x^*} = \frac{x/D}{\text{Re} \cdot \text{Pr}} \quad (12)$$

تحلیل انرژی بخش دوم

با در نظر گرفتن واحد فتولتاییک حرارتی به عنوان یک حجم کنترل و با فرض پایا بودن جریان، معادلات انرژی به شکل زیر تبدیل می شوند [8]:

$$\sum \dot{E}_{\text{in}} = \sum \dot{E}_{\text{out}} + \sum \dot{E}_{\text{lost}} \quad (13)$$

$$\dot{E}_{\text{sun}} + \dot{E}_{\text{mass,in}} = \dot{E}_{\text{el}} + \dot{E}_{\text{mass,out}} + \dot{E}_{\text{loss}} \quad (14)$$

در معادلات فوق \dot{E}_{in} ، \dot{E}_{out} و \dot{E}_{loss} نشان دهنده نرخ انرژی ورودی، خروجی و هدررفته است. همچنین \dot{E}_{sun} بیانگر نرخ انرژی تابشی جذب شده است که از رابطه زیر تعیین می شود:

$$\dot{E}_{\text{sun}} = A_c \alpha_{\text{pv}} \dot{G}_{\text{sun}} \quad (15)$$

پارامتر A_c سطح مقطع فتولتاییک در معرض خورشید می باشد. همچنین توان حرارتی خروجی طبق معادله زیر محاسبه می شود [28]:

$$\dot{E}_{\text{th}} = \dot{E}_{\text{mass,out}} - \dot{E}_{\text{mass,in}} = \dot{m}_f C_{p,f} (T_{f,\text{out}} - T_{f,\text{in}}) \quad (16)$$

در معادله (۱۶)، \dot{m}_f دبی جرمی جریان سیال، $C_{p,f}$ ظرفیت گرمای ویژه سیال عامل، $T_{f,\text{in}}$ و $T_{f,\text{out}}$ نیز

رابطه (۴) با داشتن دمای متوسط حجم سیال و دمای اندازه گیری شده از سنسورهای دما روی جداره لوله مسی، ضریب انتقال حرارت جابه جایی محاسبه می گردد.

$$T_b(x) = \frac{q''_{\text{th}} \cdot px}{m \cdot C_p} + T_{b,i} \quad (3)$$

$$h(x) = \frac{q''_{\text{th}}}{[T_s(x) - T_b(x)]} \quad (4)$$

باتوجه به این که لوله مسی با ضریب انتقال حرارت هدایتی بالا و ضخامت جداره ۰/۹ میلی متر انتخاب شده است، لذا اختلاف دمای جداره داخلی و خارجی لوله بسیار کوچک و طبق محاسبات کمتر از ۰/۱ درجه سانتی گراد می باشد. عدد ناسلت موضعی در هر فاصله از ابتدای لوله از رابطه (۵) محاسبه می شود و هم چنین مقدار میانگین ضریب انتقال حرارت جابه جایی نیز از رابطه (۶) به دست می آید.

$$\text{Nu}(x) = h(x) \cdot D/k \quad (5)$$

$$h_{\text{ave}} = \frac{1}{L} \int_0^L h(x) dx \quad (6)$$

که در این رابطه k هدایت حرارتی سیال و D قطر لوله است. برای محاسبه افت فشار نیز می توان نوشت:

$$\Delta P = f \frac{L}{D} \left(\frac{\rho u^2}{2} \right) \quad (7)$$

در این رابطه u سرعت متوسط سیال، ρ چگالی، L طول لوله و f ضریب اصطکاک است. ضریب اصطکاک و عدد رینولدز برای جریان آرام در داخل لوله صاف از روابط (۸) و (۹) به دست می آیند:

$$f = \frac{64}{\text{Re}} \quad (8)$$

$$\text{Re} = \frac{4\dot{m}}{\pi d \mu} = \frac{\rho V d}{\mu} \quad (9)$$

برای مقایسه بهتر عملکرد لوله های صاف با انواع جریان ها و موانع مختلف، متغیری تحت عنوان کارایی طبق رابطه (۹) تعریف می شود.

$$\eta_{el} = \frac{\dot{E}_{el} - \dot{E}_p}{\dot{E}_{sun}} \quad (20)$$

$$\eta_{th} = \frac{\dot{E}_{th}}{\dot{E}_{sun}} \quad (21)$$

$$\eta_{ov} = \frac{\dot{E}_{el} - \dot{E}_p}{\dot{E}_{sun}} + E_{th} \left(1 - \frac{T_{amb}}{T_{f,in}} \right) \quad (22)$$

عدم قطعیت

محاسبه و تحلیل عدم قطعیت از جمله قدم‌های مهم در تحقیقات آزمایشگاهی به شمار می‌رود. برای محاسبه عدم قطعیت آزمایشات حداقل دو مرتبه باید تکرار شوند. جهت محاسبه عدم قطعیت کلی از دو عدم قطعیت ابزار و عدم قطعیت در اثر تکرار آزمایش طبق رابطه (۲۳) استفاده می‌شود. عدم قطعیت توسعه یافته از رابطه (۲۴) و با اعمال ضریب پوشش (K_u) برابر ۲ تعیین می‌شود. هم‌چنین عدم قطعیت توابع (مثلاً تابع دل‌خواه R) از رابطه (۲۵) مشخص می‌شود.

$$u_{total} = \sqrt{(u_{tools})^2 + (u_{repetition})^2} \quad (23)$$

$$U = K_u \cdot u_{total} \quad (24)$$

$$\partial R = \sqrt{\left(\frac{\partial R}{\partial u_1} \delta u_1 \right)^2 + \left(\frac{\partial R}{\partial u_2} \delta u_2 \right)^2 + \dots + \left(\frac{\partial R}{\partial u_n} \delta u_n \right)^2} \quad (25)$$

به ترتیب بیانگر دمای متوسط سیال در مقاطع ورودی و خروجی از کلکتور است.

در آزمایش‌های تجربی توان الکتریکی خروجی دستگاه فتوولتاییک \dot{E}_{el} با استفاده از معادله زیر تعیین می‌شود [30]:

$$\dot{E}_{el} = V_{oc} \times I_{sc} \times FF \quad (17)$$

در معادله (۱۸)، V_{oc} نشان‌دهنده ولتاژ مدارباز و I_{sc} نیز نشان‌دهنده جریان اتصال کوتاه واحد فتوولتاییک است. هم‌چنین FF ضریب انباشتگی است که از طریق رابطه زیر محاسبه می‌گردد [30]:

$$FF = \frac{(V \times I)_{max}}{V_{oc}^* \times I_{sc}^*} \quad (18)$$

در معادله فوق، V_{oc}^* ولتاژ مدارباز است و I_{sc}^* نیز بیانگر جریان اتصال کوتاه است که توسط کارخانه تولیدکننده در شرایط استاندارد آزمایشگاهی مشخص می‌شود.

انرژی موردنیاز پمپ نیز از طریق معادله (۱۹) به دست می‌آید [29]:

$$\dot{E}_p = \frac{\dot{m}_f \Delta P}{\rho_f \eta_p} \quad (19)$$

در معادله بالا، ΔP نشانگر افت فشار سیال گذرنده از کلکتور و η_p بازده پمپ است. بازده الکتریکی و حرارتی و کلی دستگاه فتوولتاییک حرارتی توسط معادلات (۲۰) تا (۲۲) به دست می‌آید [29].

جدول ۲ دقت تجهیزات اندازه‌گیری و عدم قطعیت متغیرها

نام تجهیز	مدل / نام تجاری	دقت	متغیر اندازه‌گیری	عدم قطعیت کلی
زمان سنج	کرونومتر	۰/۰۱ (s)	$\dot{V}(\text{mLs}^{-1})$	0.049
استوانه مدرج	ارلن	۰/۱ (ml)		
ترموکوپل دمای سطح	تیپ k	۰/۱ ($^{\circ}\text{C}$)	$T_s(x)(^{\circ}\text{C})$	0.066
ترموکوپل دمای سیال	PT100	۰/۱ ($^{\circ}\text{C}$)	$T_{bi}(^{\circ}\text{C})$ $T_{bo}(^{\circ}\text{C})$	0.031
فشارسنج	Atek	۰/۱ (mbar)	f	0.029
مولتی متر ولتاژ	UT71D	۰/۱ (volt)	V(volt)	0.068
مولتی متر جریان	UT71D	۰/۰۱ (A)	I(A)	0.006
تابش سنج	Pyranometer-TES133	۱ (W/m^2)	$\dot{G}(\text{W/m}^2)$	0.021

$$\rho \left(u \frac{\partial u}{\partial x} + v \frac{\partial u}{\partial y} + w \frac{\partial u}{\partial z} \right) = \rho g_x - \frac{\partial p}{\partial x} + \mu \left(\frac{\partial^2 u}{\partial x^2} + \frac{\partial^2 u}{\partial y^2} + \frac{\partial^2 u}{\partial z^2} \right) \quad (27)$$

$$\rho \left(u \frac{\partial v}{\partial x} + v \frac{\partial v}{\partial y} + w \frac{\partial v}{\partial z} \right) = \rho g_y - \frac{\partial p}{\partial y} + \mu \left(\frac{\partial^2 v}{\partial x^2} + \frac{\partial^2 v}{\partial y^2} + \frac{\partial^2 v}{\partial z^2} \right) \quad (28)$$

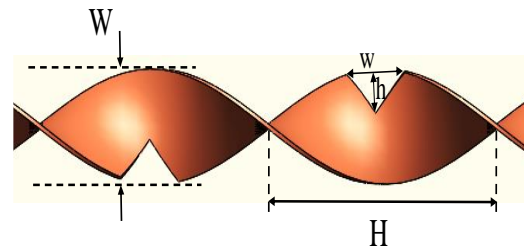
$$\rho \left(u \frac{\partial w}{\partial x} + v \frac{\partial w}{\partial y} + w \frac{\partial w}{\partial z} \right) = \rho g_z - \frac{\partial p}{\partial z} + \mu \left(\frac{\partial^2 w}{\partial x^2} + \frac{\partial^2 w}{\partial y^2} + \frac{\partial^2 w}{\partial z^2} \right) \quad (29)$$

معادله انرژی:

$$u \frac{\partial T}{\partial x} + v \frac{\partial T}{\partial y} + w \frac{\partial T}{\partial z} = \alpha \left(\frac{\partial^2 T}{\partial x^2} + \frac{\partial^2 T}{\partial y^2} + \frac{\partial^2 T}{\partial z^2} \right) \quad (30)$$

برای شرایط مرزی نیز در ورودی لوله، سیال آب با دبی جرمی ثابت وارد و مقدار آن مشخص می‌باشد. همچنین شرط دبی خروجی ثابت (out flow) در خروجی لوله برقرار است. دما در ورودی کانال مقداری ثابت دارد و در خروجی لوله نیز مقدار دما باتوجه به فرمول سرمایش نیوتون قابل محاسبه است (باتوجه به این که مقدار حرارت ورودی به آب با اعمال شار ثابت بر روی سطح خارجی لوله در طول ۵۰ سانت انتهای خروجی لوله مشخص می‌باشد). نهایتاً، فشار ثابت (فشار محیط) شرط فشار در خروجی لوله می‌باشد.

باتوجه به مدلسازی لوله‌های با مانع که ممکن است سبب تغییر رژیم جریان از آرام به آشفته شود، لذا مدل آشفته SST k-ε [35] که تغییرات جریانی در رینولدزهای پایین را پوشش می‌دهد استفاده شده است. مطابق با مدلسازی‌های انجام شده در پژوهش معادی و همکاران [36]، خطای مدلسازی بین مدل جریان آرام و مدل آشفته SST k-ε به ترتیب برای بازده‌های الکتریکی و حرارتی یک واحد فوتولتاییک حرارتی



شکل ۵ ابعاد مانع نوار تابیده

مدلسازی عددی

روابط تحلیلی

در این قسمت در ابتدا به مطالعه بر روی لوله در دو حالت با و بدون مانع نوار تابیده ساده به کمک برنامه تجاری فلونت پرداخته و سپس نتایج مدلسازی با نتایج آزمایشگاهی و روابط تئوری اعتبارسنجی می‌شود.

در تمامی نوارهای تابیده برای مدلسازی شروط زیر برقرار است (شکل ۵): ID: قطر داخلی لوله ۷,۷۱ mm، H: نصف طول گام پیچش ۲۴ mm، Y = H/ID، ۳.۱ = W: عرض نوار تابیده ۷/۱ mm، t: ضخامت نوار ۰/۹ mm، d: قطر سوراخ تخلخل، w: عرض برش، h: عمق یا ارتفاع برش، B: زاویه حمله بال، نسبت تخلخل ۴/۵٪، B = 75 درجه زاویه، نسبت‌های قطر سوراخ، عرض و عمق یا ارتفاع برش‌ها به عرض نوار تابیده برابر با ۰/۳ می‌باشد.

تعداد پیچش‌های نوار تابیده محور متناوب ۱۳ می‌باشد. همچنین در نوار تابیده ساعتگرد- پادساعتگرد زاویه تماس بخش ساعتگرد به پادساعتگرد صفر درجه و تعداد آن‌ها یک می‌باشد.

در این پژوهش سیال عبوری از لوله آب می‌باشد. معادلات حاکم مربوط به این رژیم سیال به شکل زیر ارائه می‌شود [31]:

پیوستگی:

$$\frac{\partial u}{\partial x} + \frac{\partial v}{\partial y} + \frac{\partial w}{\partial z} = 0 \quad (26)$$

معادلات مومنتوم:

گسسته‌سازی حجم کنترل در دامنه محاسباتی، حل خواهند شد. در این پژوهش از حلگر فشار مینا و برای محاسبه شار از الگوریتم سیمپل و هم‌چنین مدل جریان آرام استفاده شده است. حل به صورت حجم کنترل و دقت تمامی معادلات، از مرتبه دوم انتخاب شد. معیار هم‌گرایی برای پیوستگی، مؤلفه‌های سرعت و غیره، رسیدن باقی‌مانده حل به کمتر از 10^{-7} در نظر گرفته شده است.

اعتبارسنجی

استفاده از نوار تابیده با افزایش جریان ثانویه باعث بهبود انتقال حرارت می‌شود. نویسندگان با تغییر هندسه موانع نوار تابیده مختلف که قبلاً معرفی شدند به دنبال آن هستند که شدت این جریان ثانویه یا به عبارتی دیگر ضریب انتقال حرارت را بهبود بخشند که شکل (۶) گواه این مطلب می‌باشد. با تغییر هندسه نوار تابیده ساده به نوار تابیده ساعتگرد- پادساعتگرد، اثر جریان ثانویه افزایش پیدا کرده است.

مقایسه نتایج حل‌های تحلیلی، عددی و آزمایشگاهی برای لوله صاف بدون مانع در جدول (۵) آمده است. همان‌طور که انتظار می‌رود تفاوت بین حل تحلیلی و عددی بسیار کم است و بیشترین خطا دارای مقدار $1/95$ درصد است. هم‌چنین در قسمت آزمایشگاهی سعی شده که بستر آزمایشگاهی بسیار دقیق و با کمترین خطا تهیه گردد؛ لذا میانگین خطای حدودی $1/83$ درصد بین نتایج آزمایشگاهی و تحلیلی رؤیت می‌شود که قابل قبول است.

۰/۱ و ۰/۲ درصد می‌باشد. بنابراین استفاده از مدل جریان آرام در این پژوهش معقول و قابل اعتماد می‌باشد.

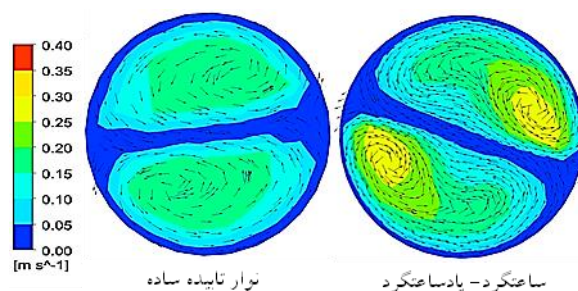
استقلال از شبکه

در ادامه به منظور اعتبارسنجی، مدل‌های عددی در دبی ۷۲ میلی لیتر بر ثانیه و شار حرارتی ثابت 1380 وات بر مترمربع، شبیه‌سازی و با نتایج آزمایشگاهی مورد مقایسه قرار گرفت. به همین منظور پیش از شروع شبیه‌سازی عددی، لوله بدون مانع و با مانع با ۷ شبکه محاسباتی مختلف مورد بررسی استقلال از شبکه قرار گرفت. مطابق جدول (۴)، برای لوله با مانع نوار تابیده تعداد سلول 1900000 به عنوان شبکه نهایی برای ادامه کار مورد استفاده قرار گرفت.

جدول ۴ استقلال از شبکه مدل لوله با مانع نوار تابیده در دبی ورودی ۷۲ میلی لیتر بر ثانیه

ضریب اصطکاک	ناسلت میانگین	تعداد شبکه
0.5958	23.1854	450000
0.5885	22.9564	850000
0.57254	22.8428	1230000
0.55751	22.5324	1900000
0.55762	22.5335	2500000
0.55975	22.5346	3500000

شبیه‌سازی عددی مورد استفاده در این پژوهش با استفاده از حل معادلات ناویر استوکس به صورت جریان سه‌بعدی و پایا در نرم‌افزار انسیس فلونت نسخه ۱۹/۲ انجام پذیرفت. معادلات ناویر استوکس از طریق



شکل ۶ جریان ثانویه در دو مانع نوار تابیده ساده و ساعتگرد- پادساعتگرد در فاصله 1453 میلی‌متر از ابتدای لوله

جدول ۵ مقایسه عدد ناسلت متوسط نتایج تحلیلی، آزمایشگاهی و عددی در ۴ مکان مختلف و در شار حرارتی ۱۳۸۰ وات بر مترمربع و رینولدز ۱۸۴۴ برای لوله صاف بدون مانع

X (m)	Nu دقیق	Nu آزمایشگاهی	Nu عددی	Ex/ Nu Er%	Sim/ Nu Er%
1.245	16.35	16.64	16.23	1.750	0.743
1.348	10.62	10.89	10.51	2.490	1.054
1.453	8.91	8.83	8.82	0.846	0.999
1.554	8.02	7.86	8.18	2.059	1.947

جدول ۶ عدد ناسلت متوسط آزمایشگاهی در شارهای حرارتی مختلف در رینولدز ۱۸۴۴ و مقایسه آن با ناسلت رابطه تحلیلی برای لوله بدون مانع (در فاصله ۱۵۵/۴ سانتی متر از ابتدای لوله)

تحلیلی	900W/m ²	1380W/m ²	1850W/m ²	2700W/m ²
8.07	8.52	8.74	8.83	8.80

جدول ۷ مقایسه ناسلت متوسط نسبی، ضریب اصطکاک نسبی و کارایی برای لوله با مانع نوار تابیده ساده (آزمایشگاهی)

	Re	۱۸۴۴	۱۳۲۷	۷۳۷	۵۳۵
آزمایشگاهی	Nu _{insert} /Nu _{smooth}	۲/۳۲	۲/۲۷	۲/۳۶	۲/۷۲
	f _{insert} /f _{smooth}	۱۳/۴۳	۱۲/۲۱	۱۰/۱۹	۷/۵۰
	TPF	۰/۹۸	۰/۹۹	۱/۰۹	۱/۳۹
عددی	Nu _{insert} /Nu _{smooth}	۲/۲۰	۲/۴۶	۲/۸۶	۳/۰۰
	f _{insert} /f _{smooth}	۱۲/۲۶	۱۱/۰۳	۱۰/۳۶	۸/۱۴
	TPF	۰/۹۵	۱/۱۰	۱/۳۱	۱/۴۹

نتایج و بحث

نتایج آزمایشگاهی

ناسلت متوسط آزمایشگاهی نیز باید در شارهای مختلف مقادیر تقریباً یکسانی داشته باشد. طبق جدول (۶) حداکثر خطای حدوداً ۹/۱ درصد در شار حرارتی ۲۷۰۰ وات بر مترمربع با نتایج تحلیلی مشاهده می شود که می تواند ناشی از نحوه اتصال سنسور ترموکوپل با سطح لوله و یا خطای خود ترموکوپل باشد. استفاده از مانع نوار تابیده ساده در مرحله بعدی آزمایش در دستور کار قرار گرفت و نتایج آن با حالت بدون مانع که در قسمت قبل انجام گرفت مقایسه شد.

نتایج آزمایشگاهی عدد ناسلت متوسط مربوط به لوله صاف بدون مانع در جریان با عدد رینولدز ۱۸۴۴ در شارهای حرارتی مختلف و هم چنین در فاصله ۱۵۵/۴ سانتی متر از ابتدای لوله در جدول (۶) ارائه و با نتایج رابطه تحلیلی شاه (رابطه ۱۰) مقایسه شده است. باتوجه به این که عدد ناسلت متوسط با تغییر شار حرارتی و تغییرات ناچیز دمای سیال تغییر نمی کند، بنابراین

آزمایشگاهی برای انجام آزمایش‌های لوله صاف بدون و با نوار تابیده ساده آماده گردید.

پس از صحنه‌گذاری مدل عددی، بررسی عددی ده نوع نوار تابیده منتخب (با اشکال مختلف) در شرایط یکسان انجام و بهترین نوار تابیده (دارای بالاترین کارایی) انتخاب می‌شود.

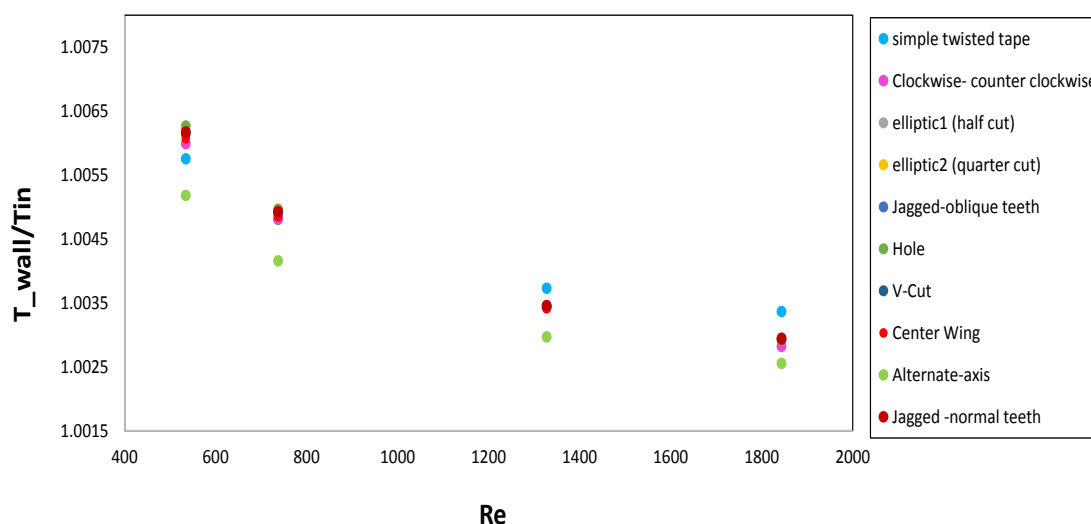
میانگین دمای نسبی دیواره لوله برای ده نوع مانع مختلف در شکل (۷) مورد بررسی قرار گرفته‌است. همان‌طور که مشاهده می‌شود تغییر نوارهای تابیده مذکور تأثیر کمی بر دمای متوسط دیواره لوله دارد. برای مثال دمای سطح لوله در عدد رینولدز ۷۳۷ برای تمامی ده مدل مانع حدوداً ۴ درصد تغییرات دارد. پایین‌ترین دمای سطح در تمامی اعداد رینولدز مربوط به نوار تابیده با بریدگی دندانه‌عمودی می‌باشد.

در ادامه جدول (۸) ارائه شده‌است که مقادیر کارایی، عدد ناسلت متوسط و ضریب اصطکاک را برای ده مدل مانع نوار تابیده با نسبت پیچش ۳/۱ در عدد رینولدز ۱۳۲۷ و شار حرارتی ۱۳۸۰ وات بر متر مربع گزارش کرده‌است.

جدول (۷) عدد ناسلت متوسط و ضریب اصطکاک متوسط را برای دو لوله با و بدون مانع نوار تابیده ساده نشان می‌دهد. همان‌طور که مشاهده می‌شود عدد ناسلت متوسط برای لوله با مانع نوار تابیده تفاوت زیادی با لوله بدون مانع دارد. برای داده‌های آزمایشگاهی، مطابق جدول حداکثر مقدار ۱/۳۹ برای کارایی مشاهده می‌شود که در نتیجه استفاده از موانع در لوله‌ها توصیه می‌شود اما یکی از نقاط ضعف استفاده از موانع، افزایش قابل توجه افت فشار می‌باشد. همان‌طور که جدول (۷) نشان می‌دهد، برای نتایج آزمایشگاهی ضریب اصطکاک متوسط لوله با مانع حدود ۱۱/۶۷ برابر نسبت به لوله بدون مانع افزایش یافته‌است.

نتایج مدل‌سازی عددی

باتوجه به هزینه‌های بالای مواد و لوازم مصرفی، تجهیزات مورد نیاز، تولید نوارهای تابیده و انجام آزمایش‌ها، بررسی انواع نوارهای تابیده و انتخاب بهترین نوار تابیده به‌صورت عددی انجام خواهد شد؛ لذا به‌منظور صحنه‌گذاری مدل‌سازی عددی، بستر



شکل ۷ نمودار نسبت دمای متوسط سطح لوله به دمای ورودی سیال برای ده مانع نوار تابیده مورد بررسی بر حسب عدد رینولدز

جدول ۸ مقایسه عدد ناسلت متوسط، ضریب اصطکاک و کارایی ۱۰ مدل مختلف نوار تابیده در نتایج عددی در شار حرارتی ۱۳۸۰ وات بر

مترمربع و عدد رینولدز ۱۳۲۷

#	مدل مانع	Nu_{ave}	f	TPF
1	نوار تابیده ساده	22.53	0.56	1.10
2	نوار تابیده ساعتگرد- پادساعتگرد	25.33	0.30	1.56
3	نوار تابیده با بریدگی بیضوی ۱	25.48	0.33	1.49
4	نوار تابیده با بریدگی بیضوی ۲	25.51	0.33	1.49
5	نوار تابیده با بریدگی دندانه‌مورب	25.51	0.38	1.42
6	نوار تابیده سوراخ‌دار	25.63	0.33	1.49
7	نوار تابیده با بریدگی v شکل	25.85	0.33	1.51
8	نوار تابیده با بریدگی بال دلتا شکل در مرکز	26.00	0.36	1.47
9	نوار تابیده محور متناوب	32.44	0.68	1.53
10	نوار تابیده با بریدگی دندانه‌عمودی	25.74	0.39	1.41

فتوولتاییک به‌شمار می‌رود. در این بخش تحت شرایط درون آزمایشگاهی (با شبیه‌ساز خورشیدی)، سه سامانه فتوولتاییک بدون خنک‌کاری، سامانه فتوولتاییک حرارتی و سامانه فتوولتاییک حرارتی با نوار تابیده تحت تابش‌های ثابت ۳۰۰، ۵۰۰، ۷۰۰ و ۹۰۰ وات بر متر مربع و نرخ حجمی سیال کاری ۱۳۰ لیتر بر ساعت با یکدیگر مقایسه می‌شوند (جدول ۹). لازم به توضیح است به‌منظور به حداقل رساندن تأثیر محیط و شرایط آزمایشگاهی بر نتایج آزمایش‌ها، دمای محیط آزمایشگاه به‌کمک یک سیستم تهویه مطبوع، ثابت نگه داشته شده است.

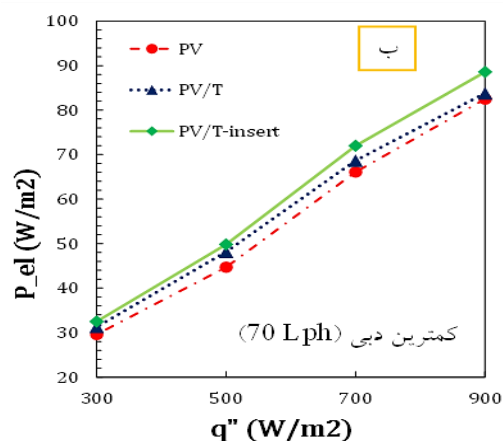
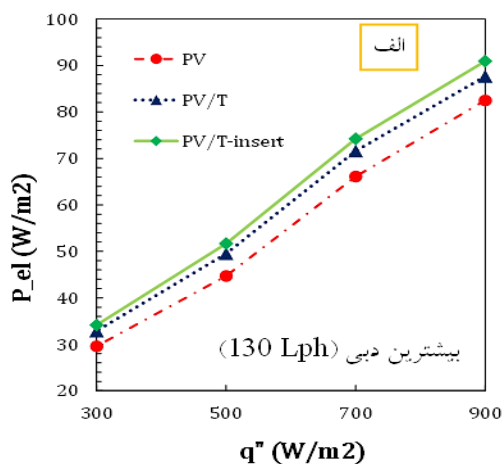
سامانه فتوولتاییک حرارتی با نوار تابیده به‌دلیل جذب گرمای بیشتر، کمترین میانگین دمای سطح را تجربه می‌کند. به‌عنوان مثال در تابش ۳۰۰ و ۹۰۰ وات بر متر مربع سامانه با نوار تابیده می‌تواند دمای فتوولتاییک بدون خنک‌کاری را حدود ۱۳/۴ و ۲۴/۶ درجه سانتی‌گراد کاهش دهد. دلیل اصلی کاهش بیشتر دما در حالت با نوار تابیده، ایجاد آشفستگی در جریان سیال خنک‌کننده و در نتیجه جذب گرمای بیشتر از سطح فتوولتاییک است.

برای بررسی هم‌زمان عدد ناسلت و ضریب اصطکاک، متغیری به نام کارایی تعریف شده است. این پارامتر با نام ضریب ترمو هیدرولیکی نیز شناخته می‌شود که عملکرد هر کدام از نوارهای تابیده را نشان می‌دهد (رابطه ۹). در ابتدا مشاهده می‌شود که نوار تابیده ساده به‌خاطر ضریب اصطکاک زیاد سیال در لوله، مقدار کارایی کمتری نسبت به لوله بدون مانع دارد، بنابراین ارزیابی نوارهای تابیده دیگر اهمیت زیادی دارد. با وجود این‌که نوار تابیده محور متناوب بالاترین مقدار عدد ناسلت (۳۲/۴۴) را دارد اما، نوار تابیده ساعتگرد- پادساعتگرد بیشترین مقدار کارایی (۱/۵۶) را دارد. این بدین معنی است که استفاده از نوار تابیده ساعتگرد- پادساعتگرد به نسبت سایر نوارهای تابیده مورد بررسی کاراتر و مؤثرتر است.

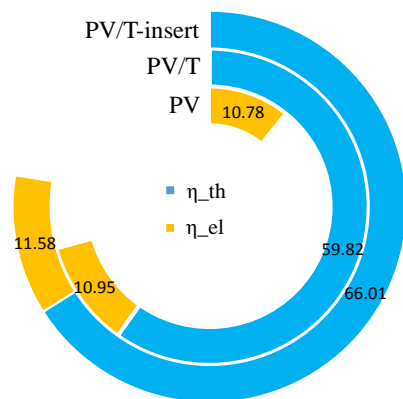
بخش دوم

در این بخش تأثیر نوار تابیده منتخب با بالاترین کارایی (نوع ساعتگرد- پادساعتگرد) بر عملکرد حرارتی و الکتریکی سامانه‌های فتوولتاییک حرارتی بررسی می‌شود. استفاده از سامانه فتوولتاییک حرارتی با نوار تابیده یک روش نیمه‌فعال برای بهبود کارایی صفحه

توان مصرفی پمپ در مقایسه با توان الکتریکی سامانه فوتولتائیک حرارتی بسیار ناچیز است؛ لذا می توان از آن صرف نظر کرد.



شکل ۸ توان الکتریکی بر حسب تابش در الف) بیشترین دبی، ب) کمترین دبی



شکل ۹ بازده الکتریکی و گرمایی برای سامانه های مورد مطالعه در دبی ۷۰ لیتر بر ساعت و شار ورودی ۹۰۰ وات بر مترمربع

جدول ۹ دمای سطح بر حسب تابش برای سه سامانه مختلف مورد مطالعه در دبی ۱۳۰ لیتر بر ساعت

q'' (W/m ²)	PV	PV/T	PV/T-insert
900	76.7	56.7	55.3
700	74.5	53	51.8
500	57.5	45.2	43.5
300	47.3	37.5	37

شکل (۸-الف) توان الکتریکی بر حسب تابش در دبی ۱۳۰ لیتر بر ساعت و شکل (۸-ب) توان الکتریکی در دبی ۷۰ لیتر بر ساعت را برای سه سامانه مورد مطالعه نشان می دهد. بر اساس نتایج شکل ها، با افزایش تابش از ۳۰۰ تا ۹۰۰ وات بر متر مربع، در تمامی سامانه های مورد بررسی، توان الکتریکی کاهش می یابد. این پدیده گواه این مدعا است که دمای سطح و توان الکتریکی رابطه کاملاً معکوس دارند. این نتیجه در بسیاری از پژوهش ها اشاره شده است [33,34]. در دبی بیشینه، در تابش ۳۰۰ وات بر متر مربع توان الکتریکی سامانه مجهز به نوار تابیده حدود ۳/۸۸ و ۱۳/۳۸ درصد نسبت به سامانه بدون نوار و بدون گردآورنده بیشتر است. هم چنین در تابش ۹۰۰ وات بر متر مربع توان الکتریکی سامانه مجهز به نوار تابیده حدود ۳/۷۲ و ۹/۲۸ درصد نسبت به سامانه بدون نوار و بدون گردآورنده بیشتر است.

نتایج موجود در شکل (۹) تحت تابش ۹۰۰ وات بر متر مربع و نرخ حجمی سیال کاری ۷۰ لیتر بر ساعت محاسبه شده است. در مقایسه دو سامانه با و بدون نوار تابیده نتایج نشان می دهد راندمان گرمایی (بازده الکتریکی) ۶/۲ درصد (۰/۶۲ درصد) بهبود را تجربه می کند. هم چنین این شکل نشان می دهد استفاده هم زمان از نوار تابیده و گردآورنده بازده الکتریکی را حدود ۰/۸ درصد افزایش می دهد.

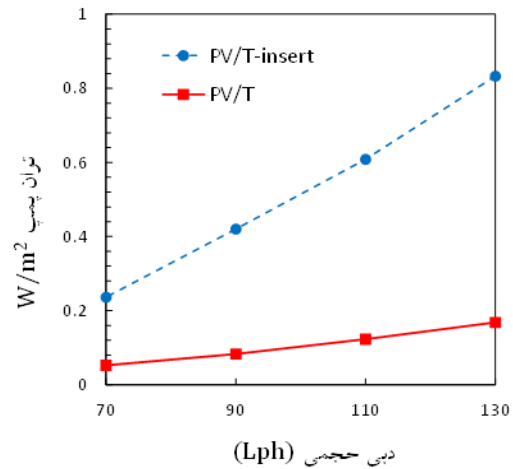
شکل (۱۰) توان مصرفی پمپ در دبی های مختلف را نشان می دهد. مطابق شکل، افزایش دبی سیال عامل، افزایش توان مصرفی پمپ را به دنبال دارد. با مقایسه شکل (۸) و شکل (۱۰) می توان دریافت که

سیال کاری است.

۲. در نرخ حجمی سیال کاری ثابت با افزایش تابش، توان الکتریکی به دلیل بالا رفتن شار ورودی افزایش و توان گرمایی به دلیل جذب گرمای بیشتر، افزایش را تجربه می‌کند. بنابراین بیشترین توان الکتریکی و گرمایی در بیشترین سرعت سیال و بیشترین تابش رخ می‌دهد.

۳. در کمترین دبی حجمی، با افزایش شدت تابش از ۳۰۰ تا ۹۰۰ وات بر متر مربع، توان الکتریکی و گرمایی حدود ۱۷۲/۵ و ۲۷۶/۵ درصد افزایش دارد. هم‌چنین در بیشترین دبی حجمی نیز، با افزایش شدت تابش از ۳۰۰ تا ۹۰۰ وات بر متر مربع، توان الکتریکی و گرمایی حدود ۱۶۶/۳ و ۲۳۳/۳ درصد افزایش دارد.

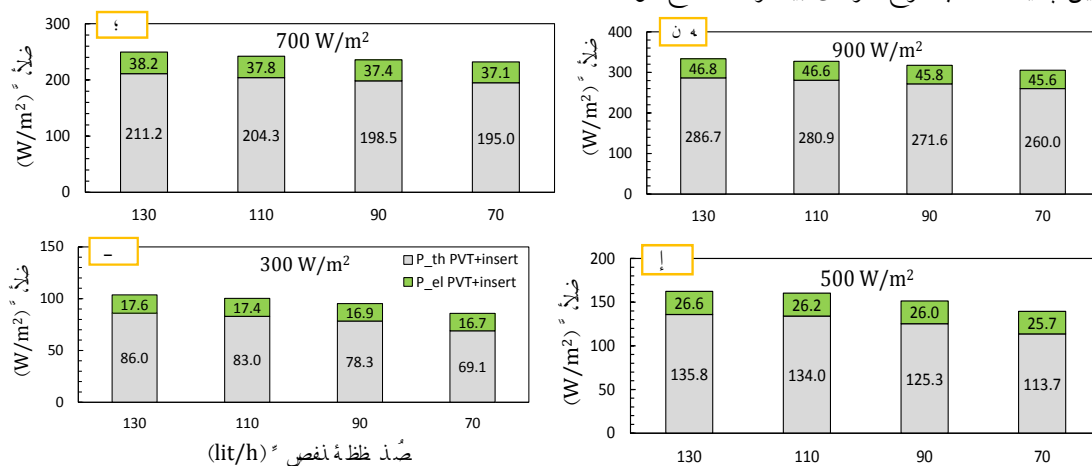
۴. در کمترین شدت تابش اعمالی، با افزایش دبی حجمی از ۷۰ تا ۱۳۰ لیتر بر ساعت، توان الکتریکی و گرمایی حدود ۵/۰ و ۲۴/۵ درصد افزایش دارد. هم‌چنین در بیشترین شدت تابش اعمالی، با افزایش دبی حجمی از ۷۰ تا ۱۳۰ لیتر بر ساعت نیز، توان الکتریکی و گرمایی حدود ۲/۷ و ۱۰/۳ درصد افزایش دارد.



شکل ۱۰ نمودار توان مصرفی پمپ در دبی‌های مختلف برای دو سامانه با و بدون مانع

به‌منظور مقایسه بهتر، شکل (۱۱) توان‌های الکتریکی و گرمایی در تابش‌های (۳۰۰ تا ۹۰۰ وات بر متر مربع) و نرخ‌های حجمی مختلف (۷۰ تا ۱۳۰ لیتر بر ساعت) در سامانه مجهز به نوار تابیده منتخب را نشان می‌دهد. نکات زیر از شکل گزارش شده برداشت می‌شود:

۱. در تابش ثابت با افزایش نرخ حجمی سیال کاری، هم توان الکتریکی و هم توان گرمایی بهبود می‌یابند. دلیل این پدیده جذب نرخ گرمای بیشتر از سطح توسط



شکل ۱۱ توان الکتریکی و گرمایی در تابش‌ها (۳۰۰ تا ۹۰۰ وات بر متر مربع) و نرخ‌های حجمی مختلف (۷۰ تا ۱۳۰ لیتر بر ساعت) در سامانه مجهز به نوار تابیده منتخب

Serrated	داندانه دار
Ribbed spiky	خوشه‌ای آج دار
With circular-rings	با حلقه‌های دایره‌ای
Staggered	سطح ناهموار و نامتناوب
Conical leaf insert	مانع برگ مخروطی

نتیجه گیری

برخی از مهم‌ترین نتایج به شرح زیر می‌باشند:

۱. بستر آزمایشگاهی برای بررسی اثر استفاده از نوار تابیده در لوله تهیه شد. سپس مدل‌سازی عددی با مدل آزمایشگاهی صحت‌سنجی شد.

۲. استفاده از نوار تابیده ساده سبب حداکثر مقدار $1/39$ برای کارایی مشاهده می‌شود بنابراین استفاده از موانع در لوله‌ها توصیه می‌شود.

۳. در بین ده مانع نوار تابیده مختلف، نوار تابیده ساعتگرد- پادساعتگرد دارای بالاترین مقدار کارایی است و به‌عنوان بهترین مانع برگزیده شده‌است.

۴. مقایسه نتایج دو سامانه با و بدون نوار تابیده در شار ورودی 900 وات بر مترمربع و 70 لیتر بر ساعت نشان می‌دهد که بازده گرمایی (بازده الکتریکی) $6/2$ درصد ($0/62$ درصد) بهبود را تجربه می‌کند.

۵. در تابش ثابت با افزایش نرخ حجمی سیال کاری، هم توان الکتریکی و هم توان گرمایی بهبود می‌یابند. دلیل این پدیده جذب نرخ گرمای بیشتر از سطح توسط سیال کاری است.

۶. در کم‌ترین دبی حجمی، با افزایش شدت تابش از 300 تا 900 وات بر متر مربع، توان الکتریکی و گرمایی حدود $172/5$ و $276/5$ درصد افزایش دارد. هم‌چنین در بیشترین دبی حجمی نیز، با افزایش شدت تابش از 300 تا 900 وات بر متر مربع، توان الکتریکی و گرمایی حدود $166/3$ و $233/3$ درصد افزایش دارد.

واژه نامه

فهرست علائم

P	فشار ($\text{kgm}^{-1}\text{s}^{-2}$)
Pr	عدد پراتل
Re	عدد رینولدز
\dot{E}	نرخ انرژی (W)
\dot{G}	نرخ تابش خورشید (Wm^{-2})
\dot{m}	دبی جرمی (kgs^{-1})
q''	شار حرارتی (Wm^{-2})
C_p	ظرفیت گرمایی ویژه ($\text{Jkg}^{-1}\text{K}^{-1}$)
h	ضریب انتقال حرارت جابه‌جایی (Wm^{-2})
Nu	عدد ناسلت
u	سرعت در جهت x (ms^{-1})
v	سرعت در جهت y (ms^{-1})
w	سرعت در جهت z (ms^{-1})
T	دما (K)
TPF	کارایی
D	قطر لوله (m)
A	مساحت (m^2)
L	طول لوله (m)
FF	ضریب انباشتگی سطح فوتوولتائیک
V	ولتاژ (v)
I	جریان (A)
η	بازده (%)
f	ضریب اصطکاک جریان داخل لوله
g	شتاب گرانش (ms^{-2})

Perforated twisted tape	نوار تابیده سوراخ‌دار
Notched twisted tape	نوار تابیده شکاف‌دار
Wired twisted tape	نوار تابیده سیم‌دار
V-cut	دارای بریدگی V شکل
Multi-channel	چند کاناله
With alternative axis	با محور متغیر

		علائم یونانی	
خروجی	out	چگالی (kgm^{-3})	ρ
الکتریکی	el	لزجت دینامیکی ($\text{kgm}^{-1}\text{s}^{-1}$)	μ
حرارتی (گرمایی)	th	رسانندگی حرارتی ($\text{Wm}^{-1}\text{K}^{-1}$)	k
سیال	f		
جرمی	mass		
پمپ	p	زیر نویس ها	
محیط	amb	سطح	s
نوار تاییده ساده	insert	حجم (بالک) سیال	B
صاف (بدون مانع)	smooth	اغتشاش	t
مینا	ref	ورودی	in

مراجع

1. Yazdanpanahi, J., Sarhaddi, F., and Adeli, M. M., "Experimental Investigation of Exergy Efficiency of a Solar Photovoltaic Thermal (PVT) Water Collector Based on Exergy Losses", *Solar Energy*, Vol. 118, Pp. 197-208, (2015).
2. Rashidi, S., Hossein Kashefi, M., and Hormozi, F., "Potential Applications of Inserts in Solar Thermal Energy Systems – A Review to Identify the Gaps and Frontier Challenges", *Solar Energy*, Vol. 171, Pp. 929-952, doi: <https://doi.org/10.1016/j.solener.2018.07.017>, (2018).
3. Taheri, A., Malayjerdi, M., Kazemi, M., Kalani, H., Nemati-Farouji, R., Passandideh-Fard, M., and Sardarabadi, M., "Improving the Performance of a Nanofluid-Based Photovoltaic Thermal Module Utilizing Dual-Axis Solar Tracker System: Experimental Examination and Thermodynamic Analysis", *Applied Thermal Engineering*, Vol. 196, Pp. 117178, (2021).
4. Dupeyrat, P., Menezo, C., and Fortuin, S., "Study of the Thermal and Electrical Performances of PVT Solar hot Water System", *Energy and Buildings*, Vol. 68, Pp. 751-755, (2014).
5. Chandrasekar, M., Suresh S., and Senthilkumar, T., "Passive Cooling of Standalone flat PV Module with Cotton Wick Structures", *Energy Conversion and Management*, Vol. 71, Pp. 43-50, (2013).
6. Browne, M., Norton, B., and McCormack, S., "Phase Change Materials for Photovoltaic Thermal Management", *Renewable and Sustainable Energy Reviews*, Vol. 47, Pp. 762-782, (2015).
7. Chow, T. T., "A Review on Photovoltaic/Thermal Hybrid Solar Technology", *Applied Energy*, Vol. 87, No. 2, Pp. 365-379, (2010).
8. Maadi, S. R., Sabzali, H., Kolahan, A., and Wood, D., "Improving the Performance of PV/T Systems by Using Conical-Leaf Inserts in the Coolant Tubes", *Solar Energy*, Vol. 212, Pp. 84-100, (2020).

9. Hafez, A. Z., Attia, A. M., Eltwab, H. S., ElKousy, A. O., Afifi, A. A., AbdElhamid, A. G., AbdElqader, A. N., Fateen, S. E. K., El-Metwally, K. A., Soliman, A., and Ismail, I. M., "Design Analysis of Solar Parabolic Trough Thermal Collectors", *Renewable and Sustainable Energy Reviews*, Vol. 82, Pp. 1215-1260, doi: <https://doi.org/10.1016/j.rser.2017.09.010>, (2018).
10. Joshi, S. S., and Dhoble, A. S., "Photovoltaic-Thermal Systems (PVT): Technology Review and Future Trends", *Renewable and Sustainable Energy Reviews*, Vol. 92, Pp. 848-882, (2018).
11. Anbu, S., Venkatachalapathy, S., Suresh, S. J. J. o. T. A., and Calorimetry, "Convective Heat Transfer Studies on Helically Corrugated Tubes with Spiraled Rod Inserts Using TiO₂/DI Water Nanofluids", Vol. 137, No. 3, Pp. 849-864, (2019).
12. Bahiraei, M., Mazaheri, N., and Hassanzamani, S. M. J. I. J. o. M. S., "Efficacy of a New Graphene-Platinum Nanofluid in Tubes Fitted with Single and Twin Twisted Tapes Regarding Counter and Co-Swirling Flows for Efficient Use of Energy", Vol. 150, Pp. 290-303, (2019).
13. Nakhchi, M. E., and Esfahani, J. A., "Cu-Water Nanofluid Flow and Heat Transfer in a Heat Exchanger Tube Equipped with Cross-Cut Twisted Tape", *Powder Technology*, Vol. 339, Pp. 985-994, (2018).
14. Bahiraei, M., Gharagozloo, K., and Moayedi, H., "Experimental Study on Effect of Employing Twisted Conical Strip Inserts on Thermohydraulic Performance Considering Geometrical Parameters", *International Journal of Thermal Sciences*, Vol. 149, Pp. 106178, (2020).
15. Datt, R., Bhist, M. S., Kothiyal, A. D., Maithani, R., and Kumar, A., "Fluid Flow and Heat Transfer Enhancement in Wings with Combined Solid Ring Twisted Tape Inserts Circular Heat Exchanger Tube", *Thermal Science*, No. 00, Pp. 95-95, (2019).
16. Liu, H.-l., Li, H., He, Y.-l., and Chen, Z.-t., "Heat Transfer and Flow Characteristics in a Circular Tube Fitted with Rectangular Winglet Vortex Generators", *International Journal of Heat and Mass Transfer*, Vol. 126, Pp. 989-1006, (2018).
17. Sadeghi, O., Mohammed, H., Bakhtiari-Nejad, M., and Wahid, M., "Heat Transfer and Nanofluid Flow Characteristics through a Circular Tube Fitted with Helical Tape Inserts", *International Communications in Heat and Mass Transfer*, Vol. 71, Pp. 234-244, (2016).
18. Chang, S. W., Cai, W. L., and Syu, R. S., "Heat Transfer and Pressure Drop Measurements for Tubes Fitted with Twin and Four Twisted Fins on Rod", *Experimental Thermal and Fluid Science*, Vol. 74, Pp. 220-234, (2016).
19. Skullong, S., Promvong, P., Thianpong, C., and Pimsarn, M., "Heat Transfer and Turbulent Flow Friction in a Round Tube with Staggered-Winglet Perforated-Tapes", *International Journal of Heat and Mass Transfer*, Vol. 95, Pp. 230-242, (2016).
20. Liu, G., Yang, C., Zhang, J., Zong, H., Xu, B., and Qian, J. -y., "Internal Flow Analysis of a Heat Transfer Enhanced Tube with a Segmented Twisted Tape Insert", *Energies*, Vol. 13, No. 1, Pp. 207,

- (2020).
21. Moghaddaszadeh, N., Esfahani, J. A., and Mahian, O., "Performance Enhancement of Heat Exchangers Using Eccentric Tape Inserts and Nanofluids", *Journal of Thermal Analysis and Calorimetry*, Vol. 137, No. 3, Pp. 865-877, (2019).
 22. Huang, Z. F., Nakayama, A., Yang, K., Yang, C., and Liu, W., "Enhancing Heat Transfer in the Core Flow by Using Porous Medium Insert in a Tube", *International Journal of Heat and Mass Transfer*, Vol. 53, No. 5, Pp. 1164-1174, doi: <https://doi.org/10.1016/j.ijheatmasstransfer.2009.10.038>, (2010).
 23. Abdul Hamid, K., Azmi, W. H., Mamat, R., and Sharma, K. V., "Heat Transfer Performance of TiO₂-SiO₂ Nanofluids in a Tube with Wire Coil Inserts", *Applied Thermal Engineering*, Vol. 152, Pp. 275-286, doi: <https://doi.org/10.1016/j.applthermaleng.2019.02.083>, (2019).
 24. Pethkool, S., Eiamsa-ard, S., Kwankaomeng, S., and Promvong, P., "Turbulent Heat Transfer Enhancement in a Heat eXchanger Using Helically Corrugated Tube", *International Communications in Heat and Mass Transfer*, Vol. 38, No. 3, Pp. 340-347, doi: <https://doi.org/10.1016/j.icheatmasstransfer.2010.11.014>, (2011).
 25. Chang, S. W., Chen, T. W., and Chen, Y. W., "Detailed Heat Transfer and Friction Factor Measurements for Square Channel Enhanced by Plate Insert with Inclined Baffles and Perforated Slots", *Applied Thermal Engineering*, Vol. 159, Pp. 113856, doi: <https://doi.org/10.1016/j.applthermaleng.2019.113856>, (2019).
 26. Kumar, D., Patil, A. K., and Kumar, M., "Experimental Investigation of Heat Transfer and Fluid Flow in a Circular Tube with Lanced Ring Insert", *Experimental Heat Transfer*, Vol. 33, No. 6, Pp. 560-571, (2020).
 27. Gnanavel, C., Saravanan, R., and Chandrasekaran, M., "Heat Transfer Augmentation by Nano-Fluids and Spiral Spring Insert in Double Tube Heat Exchanger– A Numerical Exploration", *Materials Today: Proceedings*, Vol. 21, Pp. 857-861, doi: <https://doi.org/10.1016/j.matpr.2019.07.602>, (2020).
 28. Bejan, A., *Convection Heat Transfer*: Wiley, (2013).
 29. Yazdanifard, F., Ebrahimnia-Bajestan, E., and Ameri, M., "Investigating the Performance of a Water-Based Photovoltaic/Thermal (PV/T) Collector in Laminar and Turbulent Flow Regime", *Renewable Energy*, (2016).
 30. Dubey, S., and Tay, A. A., "Testing of Two Different Types of Photovoltaic–Thermal (PVT) Modules with Heat Flow Pattern under Tropical Climatic Conditions", *Energy for Sustainable Development*, Vol. 17, No. 1, Pp. 1-12, (2013).
 31. Maadi, S. R., Khatibi, M., Ebrahimnia-Bajestan, E., and Wood, D., "Coupled Thermal-Optical Numerical Modeling of PV/T Module– Combining CFD Approach and Two-Band Radiation DO Model", *Energy Conversion and Management*, Vol. 198, Pp. 111781, (2019).

32. Kalateh, M. R., Kianifar, A., and Sardarabadi, M., "A Three-Dimensional Numerical Study of the Effects of Various Twisted Tapes on Heat Transfer Characteristics and Flow Field in a Tube: Experimental Validation and Multi-Objective Optimization Via Response Surface Methodology", *Sustainable Energy Technologies and Assessments*, Vol. 50, Pp. 101798, (2022).
33. Taheri, A., Malayjerdi, M., Kazemi, M., Kalani, H., Nemati-Farouji, R., Passandideh-Fard, M., and Sardarabadi, M., "Improving the Performance of a Nanofluid-Based Photovoltaic Thermal Module Utilizing Dual-Axis Solar Tracker System: Experimental Examination and Thermodynamic Analysis", *Applied Thermal Engineering*, Vol. 196, Pp. 117178, doi: <https://doi.org/10.1016/j.applthermaleng.2021.117178>, (2021).
34. Salari, A., Taheri, A., Farzanehnia, A., Passandideh-fard, M., and Sardarabadi, M., "An Updated Review of the Performance of Nanofluid-Based Photovoltaic Thermal Systems from Energy, Exergy, Economic, and Environmental (4E) Approaches", *Journal of Cleaner Production*, Vol. 282, Pp. 124318, doi: <https://doi.org/10.1016/j.jclepro.2020.124318>, (2021).
35. Menter, F. R., Kuntz, M., and Langtry, R., "Ten Years of Industrial Experience with the SST Turbulence Model", *Turbulence, Heat and Mass Transfer*, Vol. 4, No. 1, Pp. 625-632, (2003).
36. Maadi, S. R., Navegi, A., Solomin, E., Ahn, H. S., Wongwises, S., and Mahian, O., "Performance Improvement of a Photovoltaic-Thermal System Using a Wavy-Strip Insert with and without Nanofluids", *Energy*, Pp. 121190, (2021).

Experimental and Numerical Study of the Effects of Using Selected Twisted Tapes Insert on the Performance of Photovoltaic Thermal System

Mohammad Reza Kalateh¹ Ali Kianifar²
 Mohammad Sardarabadi³

1. Introduction

Various active, passive, and semi-active/passive methods have been utilized to further augment the electrical/thermal performance of photovoltaic thermal systems (PV/Ts) such as using mini-channel heat pipes, integration of phase change materials (PCMs), using thermoelectric coolers, replacing nanofluids with typical pure fluids, changing the configuration of the attached thermal collectors, using inserts in the collector tubes, and utilizing solar tracker systems.

Throughout past years, using numerical and experimental methods, implementing inserts, as one of the passive heat transfer enhancement techniques, in various applications such as straight/curve tubes, heat exchangers, solar thermal collectors, and PV/Ts have been subjected to rigorous examinations. Using inserts helps to hydrodynamic/thermal boundary layer reduction, increasing flow mixing, and heat transfer coefficient increment. In addition, due to the tremendous progress in the manufacturing process, using inserts can be easily implemented in industrial scales. This method has been used by many researchers in order to improve the solar systems efficiency.

Amongst all inserts, twisted tapes are more popular and practical thanks to their easy installation and economical aspects. Sheikholeslami and Farshadab carried out a 3D numerical study based on controlling volume method to investigate the combination of two various heat transfer techniques of using lobed tube and twisted tape tabulator in a solar thermal collector. Respectively, 17.9 and 12.7%, were obtained for reduction of exergy loss and promotion in convective heat transfer coefficient, by replacing the lobed tube with turbulator instead of a conventional circular tube.

Throughout the reviewed studies, applying inserts in solar thermal collectors is a useful, simple and commercial way to help more heat transfers from the collector to the operating fluid. Consequently, thermal efficiency of these systems will be enhanced. However, the influence of using

inserts on the PVTs have received less attention, numerically and experimentally. Therefore, in this study, through designing and fabricating three different systems (PV unit, conventional PV/T, and PV/T integrated with clockwise-counter clockwise twisted tapes (CWCCW)), the effects of inserts on these systems are examined in an indoor experimental condition by simulating different outdoor conditions. The mentioned type of insert was the best optimum insert among ten different twisted tape inserts.

2. Experimental setup

In this part, three different photovoltaic systems are designed and built. The first system is a typical photovoltaic unit without any cooling system. The second system is a thermal photovoltaic unit with a header-riser collector installed below the photovoltaic panel. The third system is the same as the second one, with clockwise-counterclockwise twisted insert inside the tubes. The collector consists of 21 tubes. All experiments are done using a solar simulator system.

Solar simulator consists of eight 500-watts halogen lamps. By adjusting the angle of each lamp, the flux is tried to be the same on all surface (difference of the flux in all the surface is less than 10 W/m^2).

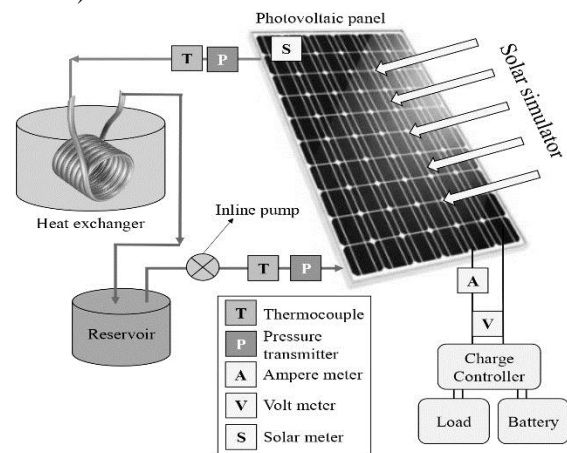


Figure 1. Schematic of experimental setup

3. Results and discussion

Table 1 shows the numerical values of average Nu number, friction factor and TPF, at the Re number of 1327 for the following twisted tapes (TTs): simple, perforated, V-cut, two different elliptic-cut, clockwise-counterclockwise, jagged oblique and normal teeth, center-delta wing, and alternate axis. As seen in the table, by implementing the

¹. Ph.D. student, Department of Mechanical Engineering, Ferdowsi University of Mashhad, Mashhad, Iran.

². Corresponding Author :Professor, Department of Mechanical Engineering, Ferdowsi University of Mashhad, Mashhad, Iran. E-mail: a-kiani@um.ac.ir

³. Assistant professor, Department of Energy, Quchan University of Technology, Quchan, Iran.

clockwise-counterclockwise TT insert, the Nu number reaches a maximum value of 1.56, more than the other ones. Thus, this insert is selected as the best TT insert.

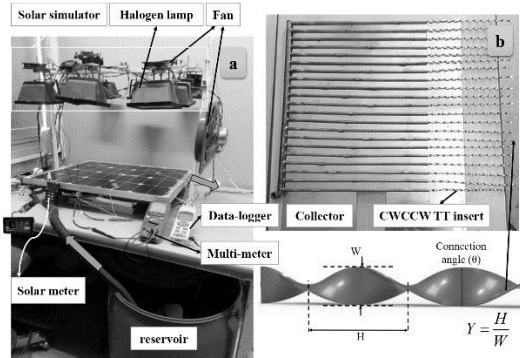


Figure 2. A real image of experimental setup

Table 1. Nu number, friction factor and TPF of ten studied twisted tape inserts

Type of twisted tape	Nu _{ave}	f	TPF
Simple TT	22.53	0.56	1.10
Clockwise-counterclockwise	25.33	0.30	1.56
Elliptic-cut 1	25.48	0.33	1.49
Elliptic-cut 2	25.51	0.33	1.49
Jagged oblique teeth	25.51	0.38	1.42
Perforated	25.63	0.33	1.49
V-cut	25.85	0.33	1.51
Center-delta wing	26.00	0.36	1.47
Alternate axis	32.44	0.68	1.53
Jagged normal teeth	25.74	0.39	1.41

PV/T with selected TT insert experiences the lowest average surface temperature due to a higher heat absorption. For example, at 300 and 900 W/m², the PV/T- insert system can reduce the PV surface temperature by 13.4 and 24.6 degrees Celsius. The main reason for further temperature drops in the PV/T-insert is turbulence in the coolant fluid flow and more heat absorption from the photovoltaic surface compared to that of the conventional PV/T.

Table 2. Surface temperature in terms of solar irradiance for three different studied systems at 130 lit/h

q" (W/m ²)	PV	PV/T	PV/T-insert
900	76.7	56.7	55.3
700	74.5	53	51.8
500	57.5	45.2	43.5
300	47.3	37.5	37

The results show in Figure 3 are obtained from 900 W/m² per and the volume flow rate of 70 lit/h. Comparing the PV/T-insert with PV/T system, the results show that thermal efficiency (and electrical efficiency) improves by 6.2% (0.62%). The figure also shows that the simultaneous use of the tapes and the collector increases the electrical efficiency by about 0.8%.

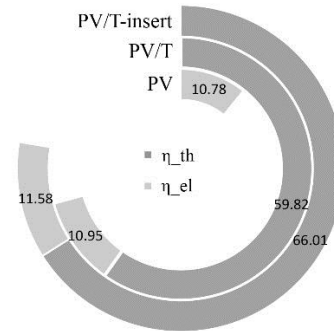


Figure 3. Electrical and thermal efficiencies for the systems at 70 lit/h and an input flux of 900 W/m²

4. Conclusion

The most important results are as follow:

- The use of simple TT inserts increases efficiency about 1.39; so the use of insert in tubes is recommended;
- Among ten different inserts, the clockwise-counterclockwise TT insert had the highest thermal performance factor and was selected as the best insert;
- Comparison the results of the PV/T and PV/T-insert at heat flux of 900 W/m² and the mass flow rate of 70 lit/h showed increasing of the thermal efficiency (and the electrical efficiency) by 6.2% (and 0.62%).
- In a constant to solar irradiance, both electric power and heat power are improved by increasing the mass flow rate of the working fluid;